

зависимость скорости нарастания такой функции  $Y(t) = \frac{dZ}{dt}$ , а затем по указанному выше алгоритму производят расчет времени ее спада до нуля.

Если же функция более сложная – имеет несколько независимых переменных, то она аппроксимируется полиномами, полученными математическими методами планирования многофакторного эксперимента (в том числе расчетного с ЭВМ) [3].

1. Заездный А.М. Основы расчетов нелинейных и параметрических радиотехнических цепей. – М.: Связь, 1973. – 448 с.

2. Дикань С.В., Намитоков К.К. Аппараты систем бесперебойного электропитания. – К.: Техніка, 1989 – 174 с.

3. Зедгенидзе И.Г. Планирование эксперимента для исследования многокомпонентных систем. – М.: Наука, 1976. – 390 с.

Получено 05.05.2000

УДК 629.11.012.55

А.Н.ЛАРИН, канд. техн. наук

Харьковский институт пожарной безопасности МВД Украины

## МОДЕЛЬ ПНЕВМАТИЧЕСКОЙ ШИНЫ С ИСПОЛЬЗОВАНИЕМ ТЕОРИИ МНОГОСЛОЙНОЙ АНИЗОТРОПНОЙ ОБОЛОЧКИ

Приводятся математические зависимости для определения деформаций в элементах шины на основе теории многослойных анизотропных оболочек. Определяются напряжения в слоях шины. Предлагается вариант задания граничных условий. Описано применение метода локальных вариаций для решения полученных уравнений.

Основой предлагаемой расчетной математической модели является модель, приведенная в [1]. Основные формулы для упругих характеристик многослойного пакета определяем с учетом гипотезы Киргофа-Лява для всего пакета, связывающей усилия и моменты с деформациями координатной поверхности оболочки [2, 3, 4]. В соответствии с принятыми допущениями выражение полной энергии геометрически слоистой нелинейной оболочки при действии внутреннего давления и обжатия на плоскость имеет вид

$$\begin{aligned} \mathcal{E} = & \frac{1}{2} \iint [B_{11}e_{11}^2 + B_{12}e_{12}^2 + B_{22}e_{22}^2 + 2B_{22}\mu_1e_{11}e_{22} + D_{12}\chi_{12}^2 + \\ & + D_{22}\chi_{22}^2 + 2D_{22}\nu_1\chi_{11}\chi_{22} + C_1(\varphi_1 - \lambda_1)^2 + C_2(\varphi_2 - \lambda_2)^2 + \\ & + 2e_{11}(\Omega_{11}\chi_{11} + \Omega_{00}\chi_{22}) + 2e_{12}\Omega_{12}\chi_{12} + 2e_{22}(\Omega_{00}\chi_{11} + \end{aligned}$$

$$+ \Omega_{22} \chi_{22}) - 2q_3 u_3] A_1 A_2 dx_1 dx_2 + \frac{1}{2} \iint_{F_k} E_3 h_3 \varepsilon_3^2 A_1 A_2 \cos \beta dx_1 dx_2.$$

Здесь обозначено

$$e_{11} = \varepsilon_{11}^0 + \frac{1}{2} \Phi_1^2; \quad e_{12} = \varepsilon_{12}^0 + \Phi_1 \Phi_2;$$

$$\varepsilon_{11}^0 = u_{1,1} A_1^{-1} + u_2 A_{1,2} (A_1 A_2)^{-1} - k_1 u_3;$$

$$\varepsilon_{12}^0 = u_{1,2} A_2^{-1} + u_{2,1} A_1^{-1} - (u_1 A_{1,2} + u_2 A_{2,1}) (A_1 A_2)^{-1}$$

$$\Phi_1 = u_{3,1} A_1^{-1} + k_1 u_1; \quad \chi_{11} = -\lambda_{1,1} A_2^{-1} - \lambda_2 A_{1,2} (A_1 A_2)^{-1};$$

$$\chi_{12} = -\lambda_{1,2} A_2^{-1} - \lambda_{2,1} A_1^{-1} + (\lambda_1 A_{1,2} + \lambda_2 A_{2,1}) (A_1 A_2)^{-1}; \quad (2)$$

$$\mu_1 = B_{22}^{-1} \sum_{k=1}^m \bar{E}_1^k h_k \mu_1^k; \quad \nu_1 = B_{22}^{-1} \sum_{k=1}^m \bar{E}_1^k h_k \mu_1^k; \quad C_1 = \frac{5}{6} G_{13} h;$$

$$B_{11} = \sum_{k=1}^m \bar{E}_1^k h_k; \quad B_{12} = \sum_{k=1}^m G_{12}^k h_k; \quad D_{11} = \sum_{k=1}^m \bar{E}_1^k \int_{h_k} x_3^2 dx_3;$$

$$D_{12} = \sum_{k=1}^m G_{12}^k \int_{h_k} x_3^2 dx_3; \quad \Omega_{00} = \sum_{k=1}^m \bar{E}_1^k \mu_1^k \int_{h_k} x_3 dx_3;$$

$$\Omega_{11} = \sum_{k=1}^m \bar{E}_1^k \int_{h_k} x_3 dx_3; \quad \Omega_{12} = \sum_{k=1}^m G_{12}^k \int_{h_k} x_3 dx_3;$$

$$\bar{E}_1^k = E_1^k (1 - \mu_1^k \mu_2^k)^{-1}; \quad \varepsilon_3 = \omega_3 h_3^{-1},$$

где  $E_3$ ,  $\omega_3$ ,  $h_3$  – модуль упругости, обжатие и высота протектора;  $F_k$  – площадь области контакта протектора.

В уравнении (1)  $u_1, u_2, u_3$  – тангенциальные перемещения координатной поверхности и прогиб оболочки;  $\lambda_1, \lambda_2$  – углы поворота нормали оболочки. Формулы для определения  $\varepsilon_{22}$ ,  $\varepsilon_{22}^0$ ,  $\Phi_2$ ,  $\chi_{22}$ ,  $B_{22}$ ,  $D_{22}$ ,  $\mu_2$ ,  $\nu_2$ ,  $C_2$ ,  $\Omega_{22}$  получаем из соответствующих выражений (2) путем перестановки индексов  $1 \leftrightarrow 2$ .

Для тороидальной оболочки в качестве криволинейных координат принимаем углы  $\varphi$  в окружном и  $\Theta$  в меридиональном направлении, т.е.  $x_1 = \varphi$ ,  $x_2 = \Theta$ . При нагружении накачанной шины положение плоскости контакта определяется ее нормальным прогибом.

При одновременном действии внутреннего давления и нагрузки перемещения срединной поверхности каркаса  $w_k$  должны удовлетворять уравнениям равновесия и соответствующим ограничениям на перемещения. При  $\varphi = 0$

$$(u_3 - h/2)\cos\beta + u_2 \sin\beta - h_3 \geq w_k. \quad (3)$$

В случае невыполнения условия (3) вычисляем величину прогиба протектора  $w_3$ , равную невязке

$$w_3 = -[w_k - (u_3 - h/2)\cos\beta - u_2 \sin\beta - h_3]. \quad (4)$$

Зная значения  $\varepsilon_1, \varepsilon_2, \chi_1, \chi_2$  в каждой точке срединной поверхности и учитывая, что в каждой точке каждого слоя оболочки имеется лишь одна плоскость упругой симметрии, параллельная срединной поверхности оболочки, из обобщенного закона Гука получаем составляющие тензора напряжения в каждом слое оболочки:

$$\sigma_\alpha^i = B_{11}^i \varepsilon_1 + B_{12}^i \varepsilon_2 + \gamma(B_{11}^i \chi_1 + B_{12}^i \chi_2);$$

$$\sigma_\beta^i = B_{12}^i \varepsilon_1 + B_{22}^i \varepsilon_2 + \gamma(B_{12}^i \chi_1 + B_{22}^i \chi_2),$$

$$\text{где } B_{11}^i = \left( a_{22}^i a_{66}^i - [a_{26}^i]^2 \right) \Omega_i^{-1}, \quad B_{22}^i = \left( a_{11}^i a_{66}^i - [a_{16}^i]^2 \right) \Omega_i^{-1},$$

$$B_{12}^i = \left( a_{16}^i a_{26}^i - a_{12}^i a_{66}^i \right) \Omega_i^{-1}, \quad B_{66}^i = \left( a_{11}^i a_{22}^i - [a_{12}^i]^2 \right) \Omega_i^{-1},$$

$$\Omega_i = \left( a_{11}^i a_{22}^i - [a_{12}^i]^2 \right) a_{66}^i + 2a_{12}^i a_{16}^i a_{26}^i - a_{11}^i [a_{26}^i]^2 - a_{22}^i [a_{16}^i]^2,$$

$$a_{11}^i = \frac{1}{E_1^i}, \quad a_{22}^i = \frac{1}{E_2^i}, \quad a_{12}^i = -\frac{\mu_{21}^i}{E_2^i} = -\frac{\mu_{12}^i}{E_1^i}, \quad a_{16}^i = \lambda_1^{*i}, \quad a_{26}^i = \lambda_2^{*i},$$

$$a_{66}^i = \frac{1}{G_{12}^i}.$$

При расчете шины принимаем, что на ободе ( $\Theta = \Theta^*$ ) край шины

заделан, т.е.  $u_1 = u_2 = u_3 = \lambda_1 = \lambda_2 = 0$ .

Уравнение поверхности шины имеет вид

$$\begin{cases} x = \rho \sin \Theta \\ y = \rho \cos \Theta \sin \varphi \\ z = \rho \cos \Theta \cos \varphi \end{cases}$$

Для определения кривизны поверхности необходимо знать первую и вторую производные на поверхности:

$$\frac{\partial x}{\partial \varphi} = 0; \quad \frac{\partial x}{\partial \Theta} = \rho' \cdot \sin \Theta + \rho \cos \Theta;$$

$$\frac{\partial^2 x}{\partial \varphi^2} = 0; \quad \frac{\partial^2 x}{\partial \Theta^2} = \rho'' \cdot \sin \Theta + 2\rho' \cos \Theta - \rho \sin \Theta; \quad \frac{\partial^2 x}{\partial \varphi \partial \Theta} = 0;$$

$$\frac{\partial y}{\partial \varphi} = \rho \cdot \cos \Theta \cdot \cos \varphi; \quad \frac{\partial y}{\partial \Theta} = (\rho' \cdot \cos \Theta + \rho \cdot \sin \Theta) \sin \varphi;$$

$$\frac{\partial^2 y}{\partial \varphi^2} = -\rho \cdot \cos \Theta \cdot \sin \varphi;$$

$$\frac{\partial^2 y}{\partial \Theta^2} = (\rho'' \cdot \cos \Theta + 2\rho' \sin \Theta - \rho \cos \Theta) \sin \varphi;$$

$$\frac{\partial^2 y}{\partial \varphi \partial \Theta} = -\rho \cdot \sin \Theta \cdot \cos \varphi; \quad \frac{\partial z}{\partial \varphi} = -\rho \cdot \cos \Theta \cdot \sin \varphi;$$

$$\frac{\partial z}{\partial \Theta} = (\rho' \cdot \cos \Theta + \rho \cdot \sin \Theta) \sin \varphi; \quad \frac{\partial^2 z}{\partial \varphi^2} = -\rho \cdot \cos \Theta \cdot \cos \varphi;$$

$$\frac{\partial^2 z}{\partial \Theta^2} = (\rho'' \cdot \cos \Theta + 2\rho' \sin \Theta - \rho \cos \Theta) \cos \varphi;$$

$$\frac{\partial^2 z}{\partial \varphi \partial \Theta} = -\rho \cdot \sin \Theta \cdot \sin \varphi.$$

Кривизны поверхности – корни характеристического уравнения

$$\begin{vmatrix} L - kE & M - kF \\ M - kF & N - kG \end{vmatrix}; \quad k_{1,2} = \frac{EN}{GL} \pm \sqrt{\left(\frac{EN}{4GL}\right)^2 - LNEG}; \quad (5)$$

$$\begin{cases} \frac{1}{2}(k_1 + k_2) = \frac{1}{2} \frac{EN - 2FM + GL}{EG - F^2} \\ k_1 \cdot k_2 = \frac{LN - M^2}{EG - F^2} \end{cases}$$

$$\text{где } G = A_2^2 = \frac{\partial^2 x}{\partial \varphi^2} + \frac{\partial^2 y}{\partial \varphi^2} + \frac{\partial^2 z}{\partial \varphi^2} = \rho^2 \cos^2 \Theta;$$

$$E = A_1^2 = \frac{\partial^2 x}{\partial \Theta^2} + \frac{\partial^2 y}{\partial \Theta^2} + \frac{\partial^2 z}{\partial \Theta^2} = \rho'^2 + \rho^2;$$

$$F = \frac{\partial^2 x}{\partial \Theta \partial \varphi} + \frac{\partial^2 y}{\partial \Theta \partial \varphi} + \frac{\partial^2 z}{\partial \Theta \partial \varphi} = 0;$$

$$N = \frac{1}{\sqrt{EG - F^2}} \begin{vmatrix} \frac{\partial^2 x}{\partial \Theta^2} & \frac{\partial^2 y}{\partial \Theta^2} & \frac{\partial^2 z}{\partial \Theta^2} \\ \frac{\partial \varphi}{\partial x} & \frac{\partial \varphi}{\partial y} & \frac{\partial \varphi}{\partial z} \\ \frac{\partial \Theta}{\partial x} & \frac{\partial \Theta}{\partial y} & \frac{\partial \Theta}{\partial z} \end{vmatrix} = \frac{-2\rho'^2 + \rho'\rho'' - \rho^2}{\rho \cos \Theta \sqrt{\rho'^2 + \rho^2}};$$

$$L = \frac{1}{\sqrt{EG - F^2}} \begin{vmatrix} \frac{\partial^2 x}{\partial \varphi^2} & \frac{\partial^2 y}{\partial \varphi^2} & \frac{\partial^2 z}{\partial \varphi^2} \\ \frac{\partial \varphi}{\partial x} & \frac{\partial \varphi}{\partial y} & \frac{\partial \varphi}{\partial z} \\ \frac{\partial \Theta}{\partial x} & \frac{\partial \Theta}{\partial y} & \frac{\partial \Theta}{\partial z} \end{vmatrix} = \frac{-\rho \cos \Theta (\rho' \sin \Theta + \rho \cos \Theta)}{\rho \cos \Theta \sqrt{\rho'^2 + \rho^2}};$$

$$M = \frac{1}{\sqrt{EG - F^2}} \begin{vmatrix} \frac{\partial^2 x}{\partial \varphi \partial \Theta} & \frac{\partial^2 y}{\partial \varphi \partial \Theta} & \frac{\partial^2 z}{\partial \varphi \partial \Theta} \\ \frac{\partial \varphi}{\partial x} & \frac{\partial \varphi}{\partial y} & \frac{\partial \varphi}{\partial z} \\ \frac{\partial \Theta}{\partial x} & \frac{\partial \Theta}{\partial y} & \frac{\partial \Theta}{\partial z} \end{vmatrix} = 0.$$

Определим производные  $\rho', \rho''$ . Для этого наружную поверхность шины представим как три окружности с сопряженными радиусами. Уравнение каждой из окружностей в системе координат  $X'O'Z'$  имеет вид

$$R^2 = (\rho \cos(\Theta') - a)^2 + (\rho \sin(\Theta') - b)^2,$$

где  $a$  и  $b$  – соответственно смещения центра окружности относительно осей  $O'Z'$  и  $O'X'$  (рис.1), откуда получаем  $\rho$ :

$$\rho = \begin{cases} b \sin \Theta + a \cos \Theta + \sqrt{(b \sin \Theta + a \cos \Theta)^2 + R^2 - a^2 - b^2} \\ \text{при условии } \rho > b \sin \Theta + a \cos \Theta; \\ b \sin \Theta + a \cos \Theta - \sqrt{(b \sin \Theta + a \cos \Theta)^2 + R^2 - a^2 - b^2} \\ \text{при условии } \rho < b \sin \Theta + a \cos \Theta. \end{cases} \quad (6)$$

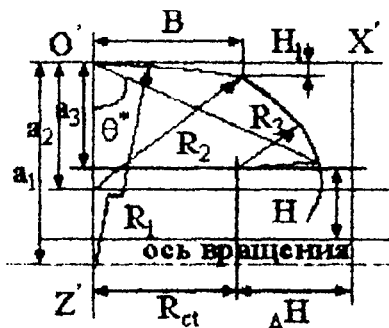


Рис.1 – К выводу уравнений для определения производных

Производная  $\rho'$  равна

$$\frac{\partial \rho}{\partial \Theta} = \frac{\rho(b \cos \Theta - a \sin \Theta)}{\rho - b \sin \Theta - a \cos \Theta}. \quad (7)$$

Вторую производную находим дифференцированием уравнения (7):

$$\frac{\partial^2 \rho}{\partial \Theta^2} = \frac{-\rho(b \sin \Theta - a \cos \Theta) + 2\rho'(b \cos \Theta - a \sin \Theta) - \rho'^2}{\rho - b \sin \Theta - a \cos \Theta}. \quad (8)$$

Требуется найти вектор-функцию  $U = (U_1, U_2, U_3, \lambda_1, \lambda_2)$  двух независимых переменных  $\varphi$  и  $\Theta$ , определенную в области  $0 < \varphi < \pi$ ,  $0 < \Theta < \Theta^*$  с граничными условиями при  $\Theta = 0$   $U_1 = U_2 = U_{2,\varphi} =$

$= \lambda_{1,\Theta} = \lambda_2 = 0; \quad \varphi = 0 \quad U_1 = U_2 = \lambda_{2,\Theta} = \lambda_1 = 0; \quad \varphi = \pi;$   
 $U_1 = U_2 = U_3 = 0; \quad \Theta = \Theta^* \quad U_1 = U_2 = U_3 = \lambda_1 = \lambda_2 = 0;$  при  
 $\Theta < \Theta'$  – в контакте шины с опорой  $U_3 = const$  и  $U_2 = const$  и  
 ограничениями на остальные значения  $(U_3 - h/2) \cos \beta +$   
 $+ U_2 \sin \beta - h_3 \leq w_3.$

Подынтегральная функция (5)

$$f = B_{11}e_{11}^2 + B_{12}e_{12}^2 + B_{22}e_{22}^2 + 2B_{22}\mu_1e_{11}e_{22} + D_{12}\chi_{12}^2 + D_{22}\chi_{22}^2 + \\
 + 2D_{22}\nu_1\chi_{11}\chi_{22} + C_1(\varphi_1 - \lambda_1)^2 + C_2(\varphi_2 - \lambda_2)^2 + 2e_{11}(\Omega_{11}\chi_{11} + \\
 + \Omega_{00}\chi_{22}) + 2e_{12}\Omega_{12}\chi_{12} + 2e_{22}(\Omega_{00}\chi_{11} + \Omega_{22}\chi_{22}) - 2q_3u_3 + \Delta f, \quad (9)$$

$$\Delta f = \begin{cases} \frac{w_3 E_3}{h_3} \cos \beta, & (U_3 - h/2) \cos \beta + U_2 \sin \beta - h_3 > w_3 \\ 0, & (U_3 - h/2) \cos \beta + U_2 \sin \beta - h_3 \leq w_3 \end{cases}$$

и минимизирующая функция

$$J = \iint_D f \left( \varphi, \Theta, U, \frac{\partial U}{\partial \varphi}, \frac{\partial U}{\partial \Theta} \right) A_1 A_2 d\Theta d\varphi.$$

Интеграл приближенно заменяем суммой интегралов по ячейкам, целиком принадлежащим области. Обозначим через  $P_{ij}$  вершины ячеек с координатами  $\varphi_j$  и  $\Theta_i$ . Точка  $P_{ij}$  внутренняя, если она вместе с четырьмя ячейками, вершиной которых является, лежит в замкнутой области. Остальные точки – граничные.  $J = \sum I_{ij}$ , где  $I_{ij}$  – приближенное значение интеграла по ячейке с вершинами  $P_{ij}, P_{i+1,j}, P_{i,j+1}, P_{i+1,j+1}$ .

$$I_{ij} = \Delta\varphi\Delta\Theta f \left( \varphi_j^*, \Theta_i^*, U_{ij}^*, (U_\varphi)_{ij}^*, (U_\Theta)_{ij}^* \right). \quad (10)$$

Здесь введены обозначения для средних значений функции в ячейке:

$$\varphi_j^* = \frac{\varphi_j + \varphi_{j+1}}{2}, \quad \Theta_i^* = \frac{\Theta_i + \Theta_{i+1}}{2},$$

$$U_{ij}^* = (U_{ij} + U_{i,j+1} + U_{i+1,j} + U_{i+1,j+1})/4,$$

$$(U_{\Phi})_{ij}^* = (U_{i+1,j+1} + U_{i+1,j} - U_{ij} - U_{i,j+1}) / 2\Delta\Phi,$$

$$(U_{\Theta})_{ij}^* = (U_{i+1,j+1} + U_{i,j+1} - U_{ij} - U_{i+1,j}) / 2\Delta\Theta.$$

Варьирование производим последовательно для каждого из компонентов вектора  $U$ , сначала для первого, затем для второго и т.д. Для каждого из компонентов вектора  $U^k$  задается свой шаг варьирования  $h_k > 0$ . При варьировании  $k$ -го компонента значения всех остальных компонентов вектора  $U$  остаются фиксированными. Изменение  $U_{ij}$  в одной внутренней точке  $P_{ij}$  вызывает изменение четырех слагаемых, входящих в сумму (11). Эти слагаемые соответствуют ячейкам, имеющим вершиной точку  $P_{ij}$ . Обозначим сумму через  $\Phi_{ij}$ .

$$\Phi_{ij} = I_{ij} + I_{i-1,j} + I_{i,j-1} + I_{i-1,j-1}. \quad (11)$$

Обозначим через  $\Phi_{ij}^+$  и  $\Phi_{ij}^-$  значения, принимаемые суммой (11) при подстановках в нее вместо  $U_{ij}$  соответствующих величин  $U_{ij} + h$  и  $U_{ij} - h$ .

$$U_{ij}^{n+1} = \begin{cases} U_{ij}^n & \Phi_{ij} \leq \Phi_{ij}^+, \Phi_{ij} \leq \Phi_{ij}^- \\ U_{ij}^n + h & \text{при } \Phi_{ij}^+ < \Phi_{ij}, \Phi_{ij}^+ \leq \Phi_{ij}^- \\ U_{ij}^n - h & \Phi_{ij}^- < \Phi_{ij}, \Phi_{ij}^- < \Phi_{ij}^+ \end{cases}$$

Результаты расчета нагруженного профиля шин приведены на рис.2, 3.

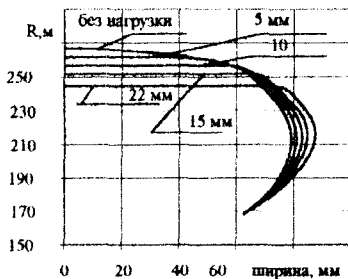


Рис.2 – Профиль шины 155/70R13 в зависимости от прогиба

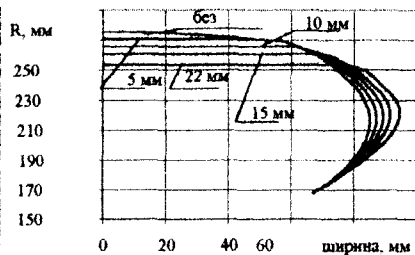


Рис.3. – Профиль шины 165/70R13 в зависимости от прогиба

В результате математического моделирования взаимодействия



шины с дорогой можно сделать следующие выводы:

- деформации от вертикальной нагрузки распространяются не более чем на треть окружности шины. В остальной части шины напряженно-деформированное состояние создается внутренним давлением воздуха;

- так как напряжения в направлении нормали к поверхности боковой стенки шины намного меньше меридиональных и окружных напряжений, то напряженное состояние стенки шины можно рассматривать как плосконапряженное.

1. Николаев И.К. Математическая модель диагональной шины и ее численная реализация // Механика пневматических шин. – М.: НИИШП, 1976. – С.47-69.

2. Амбарцумян С.А. Теория анизотропных пластин – М.: Наука, 1967. – 263 с.

3. Бухин Б.Л. Теория безмоментных сетчатых оболочек вращения и ее приложения к расчету пневматических шин / Дисс. на соиск. уч. степени д-ра техн. наук. – М., 1972. – 387 с.

4. Малмейстер А.К., Тамуж В.П., Тэтерс Г.А. Сопротивление полимерных и композитных материалов. – Рига: Зинатне, 1980. – 572 с.

5. Черноусько Ф.Л., Баничук Н.В. Вариационные задачи механики и управления. – М.: Наука, 1973. – 238 с.

Получено 05.05.2000

УДК 628.74

В.А.ГОЛЕНДЕР, канд. техн. наук, С.Л.ДМИТРИЕВ,

С.Ю.ПОТЕТЮЕВ, И.А.ЧЕПУРИН

*Харьковский институт пожарной безопасности МВД Украины*

П.З.ГУЛАКОВ

*Харьковский метрополитен*

## **К ВОПРОСУ О МОДЕЛИРОВАНИИ ЧРЕЗВЫЧАЙНЫХ СИТУАЦИЙ В МЕТРОПОЛИТЕНЕ**

Проблема тушения пожаров и спасения людей в метрополитене является одной из составляющих государственной программы обеспечения национальной безопасности Украины. Здесь рассматриваются вопросы, связанные с пожарной опасностью и возможностью возникновения чрезвычайных ситуаций (ЧС).

Происходящие возгорания и пожары в метро свидетельствуют о высокой пожарной опасности его подвижного состава. Пожарная опасность связана с объективно существующим классическим треугольником пожара: принудительная и естественная вентиляция воздуха в тоннелях и сооружениях, наличие источников зажигания (большей частью электрических), значительная пожарная нагрузка. Практически все в метро, начиная с подвагонного оборудования и кончая облицовочными материалами, содержит горючие и трудногорючие элементы. Пожарная нагрузка вагонов всех серий и типов при-